

电力系統的 机电暂态过程

滕 菲 森 編著

科学出版社

电力系統的机电暂态过程

滕 弗 森 編 著

科 学 出 版 社

1960

內容簡介

本书敘述了电力系統机电暫态過程的基本概念、理論、計算方法和計算及研究工具。对电力系統受到小干扰和大干扰以后的机电暫态過程，除了有系統的理論分析外，并介紹了工程上实用的計算方法，同时对提高系統輸送能力的方法也作了論述。书中介紹了我国在这些方面的研究成果。

本书可作为电工技术員的参考書籍，也可以作为大专学校电力系統机电暫态過程課程的主要参考資料。

电力系統的机电暫态過程

滕 菲 森 編 著

卷

科学出版社出版 (北京朝阳門大街 117 号)
北京市书刊出版业营业許可證出字第 061 号

中国科学院印刷厂印刷 新华书店总經售

卷

1960 年 4 月第一版 书号：2138 字数：171,000
1960 年 4 月第一次印刷 开本：787×1092 1/27
《京》0001—8,000 印张：7 21/27

定 价：0.97 元

目 录

前言	1
第一部分 电力系統遭受微小干扰时的暂态过程	5
第一章 电力系統的功率特性和各种功率极限	5
§ 1-1. 电力系統的功率特性	5
§ 1-2. 电力系統的实际功率极限	9
§ 1-3. 电力系統的內功率极限及外功率极限	11
§ 1-4. 复杂电力系統的功率曲綫	14
§ 1-5. 面积定則	18
第二章 电力系統受小干扰时的暂态过程	21
§ 2-1. 問題的提出, 基本概念	21
§ 2-2. 两个有限容量发电站組成的电力系統的暂态过程	26
§ 2-3. 复杂电力系統的暂态过程	29
§ 2-4. 不求解特征方程式的根, 确定系統稳定方法	31
第三章 自动調整励磁对电力系統靜稳定的影响	41
§ 3-1. 自动調整励磁在系統受到微小干扰后所起的作用	41
§ 3-2. 計及自动調整励磁設備时, 电力系統暫态過程的研究方法	45
§ 3-3. 有电压校正器的复式励磁的电力系統靜稳定的研究	46
§ 3-4. 有强作用調整励磁設備的电力系統靜稳定的研究	49
第四章 电力系統靜稳定的实用計算法	56
§ 4-1. 基本概念	56
§ 4-2. 凸极发电机的功率特性	58
§ 4-3. 发电机鐵心飽和的影响	59
§ 4-4. $\frac{dP}{d\delta}$ 判据	60
§ 4-5. $\frac{dQ}{dU}$ 判据	61
§ 4-6. 复杂电力系統靜稳定的实用判据	62

第二部分 电力系統遭受大干扰时的暫态過程	65
第五章 問題的提出和基本假設	65
§ 5-1. 暫态過程的一般情況	65
§ 5-2. 研究机电暫态過程中的一些假設條件	67
§ 5-3. 各種運行情況下的功率特性	69
第六章 电力系統受大干扰时的机电暫态過程的特性(一)	72
§ 6-1. 基本概念	72
§ 6-2. 一個發電站和無窮大受端的電力系統	73
§ 6-3. 兩個有限容量發電站的電力系統	78
§ 6-4. 复雜電力系統的机电暫态過程	81
§ 6-5. 計及發電机电勢變化時的机电暫态過程	83
§ 6-6. 机电暫态過程中其他參數的計算	89
第七章 电力系統受大干扰时的机电暫态過程的特性(二)	91
§ 7-1. 基本概念	91
§ 7-2. 發電機失去同步後的狀態，再同步	92
§ 7-3. 电力系統中發電機轉差很大時的面積定則	96
§ 7-4. 异步運行的試驗情況	99
§ 7-5. 异步運行的發電機重新牽入同步條件的研究	104
第八章 电力系統動穩定的實用計算法	105
§ 8-1. 一般概念	105
§ 8-2. 一個發電站和無窮大受端的電力系統動穩定計算簡化方法	106
§ 8-3. 电力系統發生三相短路事故，動穩定的實用計算法	109
§ 8-4. 典型曲線法	110
§ 8-5. 一個發電站和無窮大受端電力系統動穩定計算的圖解法	119
§ 8-6. 兩有限功率發電站的電力系統動穩定計算圖解法	122
第三部分 改善電力系統發生暫態過程所帶來的危害性及提高系統輸送能力的方法	127
第九章 改善電力系統及其元件的特性	127
§ 9-1. 引言	127
§ 9-2. 电力系統結構方式對暫態過程的影響	128
§ 9-3. 輸電線	132
§ 9-4. 發電機	141

§ 9-5. 变压器.....	148
§ 9-6. 开关设备.....	148
第十章 改善电力系统发生暂态过程特性的补充和附加方法	151
§ 10-1. 一般概念.....	151
§ 10-2. 变压器中性点经电阻和电抗接地.....	151
§ 10-3. 发电机接入负荷电阻产生制动.....	155
§ 10-4. 水轮发电机的机械制动.....	159
§ 10-5. 原动机的调整.....	161
§ 10-6. 输电线路采用中间同步补偿.....	164
§ 10-7. 自动调整功角设备——发电机纵横轴励磁.....	166
第四部分 研究和计算电力系统暂态过程的模型和计算设备	169
第十一章 电力系统模型.....	169
§ 11-1. 电力系统模型在研究暂态过程的应用.....	169
§ 11-2. 相似理论概述.....	170
§ 11-3. 交流计算台.....	173
§ 11-4. 电力系统的动态模型.....	177
第十二章 利用电子模拟计算机和电子数字计算机研究和计算电力系统的暂态过程.....	183
§ 12-1. 电子模拟计算机的工作原理和构造.....	183
§ 12-2. 利用电子模拟计算机计算复杂电力系统受到小干扰时的暂态过程和静稳定.....	187
§ 12-3. 利用电子模拟计算机计算复杂电力系统受到大干扰时的暂态过程和动稳定.....	191
§ 12-4. 电子数字计算机的工作原理和构造.....	193
§ 12-5. 电子数字计算机在计算电力系统暂态过程中的应用.....	199
附录.....	200
标么制.....	200
参考文献.....	203

前　　言

我們祖國在解放几年來，電力系統有了很大的發展。從剛解
放時年發電量為43.1億度，到目前增長到8倍以上，尤其是最近
當黨提出建設社會主義的總路線以後，全國工農業都產生了飛躍
的變化。電力工業，從解放時的一些彼此孤立的小發電站單獨向
負荷送電的情況，發展到現在有無數的區域電力系統正在形成。最
近，又要在很短的幾年間，建成三峽水力樞紐和三峽動力系統。當
三峽動力系統建成以後，將要用50萬伏以上的高壓輸電線把全國
各區域電力網聯結起來，形成全國的統一電力系統，這樣將使我國
的電力工業出現更新的面貌。

當全國電力系統形成以後，電力系統的運行將是一件細致而
複雜的工作。同時在設計和建成這樣一個偉大的電力系統時，將
要遇到很多需要解決的科學研究課題。因為，電力系統整個包含
著電能的產生、傳輸、配電和用電的設備，以及各種控制元件和自
動化設備。所有這些，都需要彼此很好的配合，各元件和各設備的
本身都要有好的工作特性。

全國統一電力系統或各區域電力系統都需要保證在任何可能
運行情況下都能運行，不管是負荷變化也好，或是系統中各元件出
現故障也好，電力系統都應該很快地能够過渡到穩定的狀態，繼續
可靠地向負荷供電，保證工農業生產的不致于停頓。為了要達到
這一點，便需要對電力系統在運行情況突然受到破壞時——如負
荷的增加或減少，各元件出現故障等，是否能過渡到穩定的狀態繼
續送電，進行判斷和作出有效的措施。這些問題，甚至於在電力系
統還未建成以前，也即是在設計過程中，便需要進行研究。電力系
統從某一運行情況受到破壞起，過渡到另一穩定的運行狀態，或回
到原來的運行狀態，這一過程，稱作電力系統的暫態過程。這一

暫态过程包含着电力系統各个元件，发电机、变压器、輸电线、負荷用電设备以至于原动机等，都在变化的过程。电力系統的各个元件在暫态过程中将出現电和磁参数的变化，和旋轉电机的运动参数的变化。²电和磁的参数的变化，如电流、电压、磁通的变化；旋轉电机的运动参数的变化，如速度和角位移的变化。因此，一般将电力系統的暫态过程分成两类：第一类，不考虑旋轉电机运动参数的变化，只考虑电力系統各元件的电、磁参数的变化过程，称为电力系統的电磁暫态过程，其中大部分的內容都在“电力系統短路”或“电力系統电磁暫态过程”中講述。第二类是要考虑电力系統中旋轉电机的运动参数的变化对系統运行带来的影响，这一暫态过程称为电力系統的机电暫态过程，这一部分的內容包含着电力系統稳定的內容。这里需要指出，电力系統的暫态过程，是电力系統各元件，在受到扰动以后，使得从一种运行状态过渡到另一种运行状态的过程，或者是恢复到原来运行状态的过程。在这一过程中，电力系統各元件同时出現了电磁的和机械的参数变化，因此，电磁暫态过程和机电暫态过程在实际是不能分开的。分开进行研究主要是便于研究和計算工作的进行。例如，在要計算电力系統某一元件出現短路后，短路电流值的大小，和判断是否开关设备容量能足够切除故障，此时，旋轉电机运动参数的变化对这一情况的影响不大，所以可以不考慮电机的机械运动情况，因而只要研究电力系統的电磁参数变化就可以了，所以称为电力系統的电磁暫态过程。

在电力系統所發生的暫态过程中，由于整个系統受着能量守恒定律的制約，因而除了发生电磁暫态过程以外，将产生机电暫态过程。这一过程将使原动机、調速器、发电机、补偿机、以及电动机的运动状态都要发生变化。在它們中将出現电磁能和机械能的轉換，当然在这一过程中，电力系統各元件中，也会出現电磁参数的变化。

电力系統的运行情况是由各节点电的参数，和旋轉电机的机械运动参数来表征的，这些参数如电压、电流、功率、頻率、功角、角速度等。电力系統的运行情况分成三种：第一是正常运行情况，电

力系統在这种情况下运行，在技术經濟上是最有利的。第二种是事故运行情况，由于电力系統的日益扩大，事故的种类也是多种多样的，最严重的一种事故就是短路，电力系統在事故情况下，它的发电、輸电、用电間的配合遭到破坏，甚至于要損坏設備，所以，不允许长期在事故情形下运行，現代的电力系統都按装有优良的繼電保護設備和自動控制設備，可以使事故很快被切除和消除。第三种是事故后的运行情况，电力系統在这种情况下，由于切除了事故的元件，消除了事故，所以，能够繼續运行，但是，技术經濟特性便变坏了。电力系統从上面所叙述的三种运行情况可以看出，从正常运行情况过渡到事故运行情况，和从事故运行情况过渡到事故以后的运行情况，就出現了暫态过程，这种暫态过程是由于电力系統发生了事故所引起的，所以称为事故性的暫态过程。

电力系統由于运行人員的正常操作，也会产生暫态过程，这种正常操作，如投入或切除变压器、綫路、調压用的容电器、或其他元件，这种正常的切換设备，改变了系統的运行結綫图，重新分配了各元件通过的功率。这种暫态过程，称为正常性的暫态过程。正常性的暫态过程一般都不会給电力系統造成很坏的結果，因为产生暫态过程的原因，对电力系統說来都是些小的扰动。

电力系統事故性的暫态過程的結果，会使电力系統造成很大的紊乱，通常就是所謂的电力系統发生失去稳定的事故。电力系統失去稳定的事故是指的电力系統中的某些同步电机，因在暫态过程中加速或減速而与其他的同步发电机失去同步，或者是电力系統中某几个节点的电压急剧变化，由于变化幅度很大，而使該控制点所帶的异步电机停頓，前者称为发电机失去稳定，后者，称为負荷失去稳定。电力系統失去稳定的事故是比较严重的事故之一，結果会使各系統解列，而造成某些地区的停电，要恢复系統的正常运行常要花很多的时候。我国某一电力系統，在过去几年間，也曾发生过这种事故，后来添加了一些提高稳定的方法如添加一回綫，远区水电站安装調整励磁設備等以后就有了很大的改善。

最近十年来，在电力系統暫态過程性质的研究，和提高稳定方

法的研究方面,有了很大成果,提出了很多提高稳定的方法,都在实际系統中采用了。因此,电力系統失去稳定的事故已經不如以前的年代那样严重了。但是,目前,我們祖国正在着手修建三峡水力枢紐和三峡电力系統。三峡水力枢紐的容量是举世无双的,三峡电力系統輸电的距离和輸电的容量,也远远超过現在世界上已經建成或还未建成的輸电線路。为了要保証系統輸送很大功率时,不会失去稳定,因此,便需要有很多提高稳定和輸送能的方法。这些方法是:線路电压采用 50 万伏以上,線路采用分裂导綫,发电机使用強作用調整励磁设备等。所以当三峡电力系統和全国电力系統建成以后,我們祖国的电力工业,将达到世界科学技术的頂峯。

最后,还要指出一点,电力系統的暫态过程除了以上所述分成电磁暫态过程和机电暫态过程以外,电力系統的暫态过程还有另外一些內容,称为电力系統的波动暫态过程,波动暫态过程的发生是由于电力系統受到內过电压和外过电压所引起的一系列电磁参数的变化,这种变化的頻率常常是比较高的。有关这一部分的問題,在高压工程的书籍中专门进行討論,就不是这一本书要講的范围了。

本书系根据近几年来在成都工学院講授“电力系統稳定”和“电力系統机电過程”的講义,其中不少資料系参考苏联 П. С. 日丹諾夫 (Жданов) 的“电力系統稳定” (Устойчивость электрических систем) 和 В. А. 維尼可夫 (Виников) 的“电力系統机电暫态过程” (Электромеханические переходные процессы в электрических системах) 二书,书中也尽量搜集我国和其他国家在这些方面的研究成果,以便从事于这方面工作的同志們参考。

欢迎讀者对本书提出意見,以便今后改正。

第一部分

电力系統遭受微小干扰时的暂态过程

第一章 电力系統的功率特性和各种功率极限

§ 1-1. 电力系統的功率特性

电力系統所發生的机电暂态过程，主要受着能量守恒定律所制约，也即是說电力系統各元件除了有电磁能量的轉換以外，在各个旋轉电机中，还有电磁能量和机械能量的轉換過程，所以要研究暂态过程，首先就應該掌握电力系統在各种运行情况下，能够产生、传输和消耗多少功率，还要了解这些功率的特性。

先研究一种比較简单的电力系統，如图 1-1 所示。远区发电站的发电机产生的电能經過升压变压器 T_1 升压后，由線路 \mathcal{L} 輸

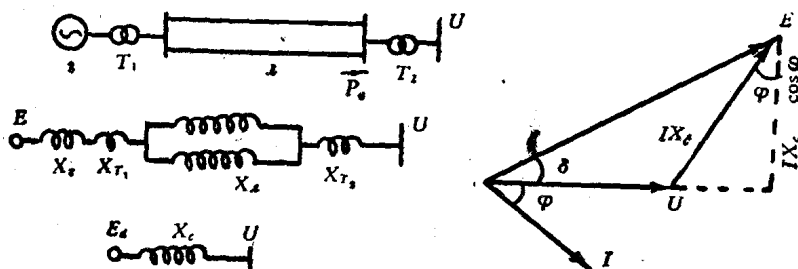


图 1-1. 电力系統的結綫圖、等效圖和矢量圖

送到受端，經過降压变压器 T_2 降压后，接到一无穷大受端，其电压为 U 。为了容易了解电力系統功率特性的特点，这里暂时忽略掉系統各元件的电阻、并联电导和电納。实际上，这种省略，对高压电力系統來說，誤差并不太大。

由远区发电站輸送到受端的功率为

$$P = UI \cos \varphi.$$

由图 1-1 矢量图可以看出，

$$IX_c \cos \varphi = E \sin \delta.$$

由此可得

$$P = \frac{EU}{X_c} \sin \delta. \quad (1.1)$$

式中， E 为发电机的电势；

I 为流到受端的电流；

X_c 为系统总电抗，为发电机、变压器、线路电抗之和；

δ 为电势 E 和电压 U 间夹角，又称功角；

φ 为功率因数角。

(1.1)式也可写成

$$P = EUY \sin \delta, \quad (1.1a)$$

式中 Y 为 EU 间的电导。

式(1.1)和(1.1a)中， EUY 或 $\frac{EU}{X_c}$ ，以 P_m 表示之，即

$$P_m = \frac{EU}{X_c} = EUY \quad (1.2)$$

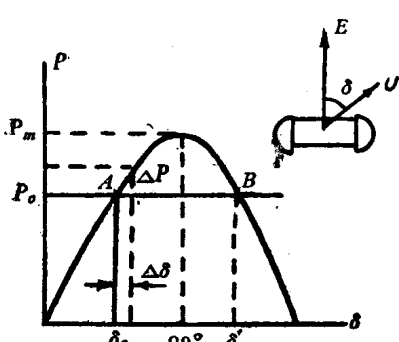


图 1-2. 功率特性曲线

P_m 称为电力系统自然的功率极限¹⁾。

由(1.1)式可知，从远区发电厂輸送到受端的功率与功角 δ 有关，称为功率特性。(1.1)式所表示的 P, δ 之間成一正弦函数的关系，如图 1-2 所示。

若远区发电站送到受端的

1) 这一功率极限过去书籍中称为理想功率极限。在现代电力系统采用了各种强作用调整励磁设备以后，系统可能达到的功率极限已超过此值，用“理想功率极限”已不恰当。

功率在正常情况为 P_0 , 則正常情况的功角为

$$\delta_0 = \arcsin \frac{P_0}{P_m},$$

其值就为定值。

根据功率特性, 可以看出送到受端的功率 P_0 必需要小于 P_m , 电力系統才能运行; 而且, P_0 水平直線(图 1-2)与功率特性曲線的交点 A 必需在功率特性曲線左半支才能稳定运行, 因为假若某种原因如原动机或調速器的工作点发生变化, 使 δ_0 增加 $\Delta\delta$, 则相应送到受端的功率便增加 ΔP . 由于原动机不能立刻反映出这一功率差值 ΔP , 因而所得到的功率仍为 P_0 , 而輸出的功率却增加为 $P_0 + \Delta P$, 于是机组就要慢下来. 結果使 $\delta = \delta_0 + \Delta\delta$ 減小, 最后回复到 δ_0 而平衡.

此时 $\frac{\Delta P}{\Delta\delta} > 0.$

∴ 可得 $\frac{dP}{d\delta} > 0$ 作为系統是稳定的判断. (1.3)

在功率特性的右半支, 則会得到一种相反的結果. 因为当角度从 δ'_0 增加某一 $\Delta\delta$ 值时, 所引起的不是輸送功率的增加, 而是功率的減少. 这样将要导致机组更要加速, δ 角繼續增加, 以致于失去同步.

此时 $\frac{\Delta P}{\Delta\delta} < 0$

即可用 $\frac{dP}{d\delta} < 0$ 作为系統不稳定的判断. (1.4)

在現代的电力系統中, 目前已經可以采用許多新的措施使电力系統的功率极限 P_m 提高到輸电线的极限传输容量 $P_{m.e}$.

輸电线的传输容量

$$P_{m.e} = \frac{U_1 U_2}{X_{ll}}. \quad (1.5)$$

很显然, 輸电线的极限传输容量 $P_{m.e}$ 是大于电力系統的功率极限 P_m .

$$P_{m,A} > P_m,$$

这是主要因为

$$X_A < X_c.$$

輸电綫的极限傳輸功率 $P_{m,A}$ 是現代研討电力系統的一个很重要的因素。

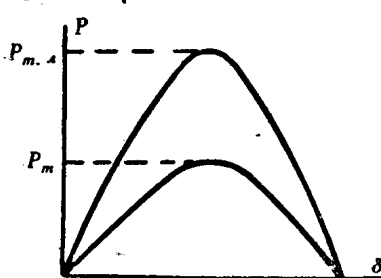
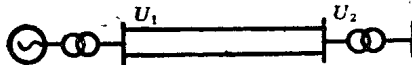


图 1-3. 輸电綫的功率极限功率
的电抗 X_A 来表示，輸电綫可以用一分布参数的四端网络来代替。
从理論电工可知，在不考慮綫路的損失时，可得

$$U_1 = U_2 \left(\cos \alpha_0 l \pm Z_H \frac{Q_2}{U_2^2} \sin \alpha_0 l + j Z_H \frac{P_2}{U_2^2} \sin \alpha_0 l \right). \quad (1.5a)$$

从图 1.4 可見，

$$U_1 \sin \delta = U_2 \cdot Z_H \frac{P_2}{U_2^2} \sin \alpha_0 l,$$

$$\therefore P_2 = \frac{U_1 U_2}{Z_H \sin \alpha_0 l} \sin \delta_A. \quad (1.6)$$

当綫路不長时(达 200—250 Kw)

$$\sin \alpha_0 l \approx \alpha_0 l = \sqrt{X_0 b_0} l$$

$$Z_H = \sqrt{\frac{X_0}{b_0}} \text{ 为波阻抗}$$

由此，

$$\begin{aligned} P_2 &= \frac{U_1 U_2 \sin \delta_A}{\sqrt{\frac{X_0}{b_0} \sqrt{X_0 b_0} l}} = \frac{U_1 U_2 \sin \delta_A}{X_0 l} = \frac{U_1 U_2 \sin \delta_A}{X_A} = \\ &= P_{m,A} \sin \delta_A \end{aligned}$$

假若綫路很长时，輸电
綫路的阻抗，不能用一簡單

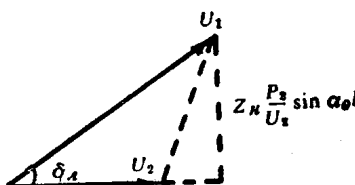


图 1-4. 線路以分布参数表示时的向量图

的电抗 X_A 来表示，輸电綫可以用一分布参数的四端网络来代替。

从理論电工可知，在不考慮綫路的損失时，可得

$$U_1 = U_2 \left(\cos \alpha_0 l \pm Z_H \frac{Q_2}{U_2^2} \sin \alpha_0 l + j Z_H \frac{P_2}{U_2^2} \sin \alpha_0 l \right). \quad (1.5a)$$

从图 1.4 可見，

$$U_1 \sin \delta = U_2 \cdot Z_H \frac{P_2}{U_2^2} \sin \alpha_0 l,$$

$$\therefore P_2 = \frac{U_1 U_2}{Z_H \sin \alpha_0 l} \sin \delta_A. \quad (1.6)$$

当綫路不長时(达 200—250 Kw)

$$\sin \alpha_0 l \approx \alpha_0 l = \sqrt{X_0 b_0} l$$

$$Z_H = \sqrt{\frac{X_0}{b_0}} \text{ 为波阻抗}$$

由此，

$$\begin{aligned} P_2 &= \frac{U_1 U_2 \sin \delta_A}{\sqrt{\frac{X_0}{b_0} \sqrt{X_0 b_0} l}} = \frac{U_1 U_2 \sin \delta_A}{X_0 l} = \frac{U_1 U_2 \sin \delta_A}{X_A} = \\ &= P_{m,A} \sin \delta_A \end{aligned}$$

与(1.5)式相符合。

§ 1-2. 电力系统的实际功率极限

电力系统输送功率的特性，与发电机的电势 E 和受端电压 U 的乘积成正比，即

$$P = \frac{EU}{X_c} \sin \delta.$$

又当 X_c 通常为一定，(E, U 的数值也一定时)，功率极限

$$P_m = \frac{EU}{X_c}$$

即为一定，称为自然功率极限。但在实际电力系统中，由于受端系统并不是无穷大的受端，因而在运行情况变化时，不能保持 U 的数值为恒定， U 的大小将因输送功率的增加而减少，

$$\therefore P = \frac{Ef(PQ)}{X_c} \sin \delta. \quad (1.7)$$

因此功率特性将不再是一根正弦曲线，其形状如图 1-5 所示。图中，五根功率特性曲线，代表 U 的数值为 100%、80%、60%、40% 和 20% 的功率曲线。随着输送功率的增加，运行点将要从 U 的数值较大的功率曲线上移向数值小的一根曲线，便得到一支实际

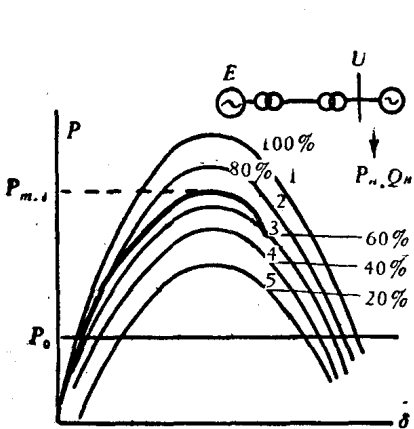


图 1-5：实际功率曲线极限

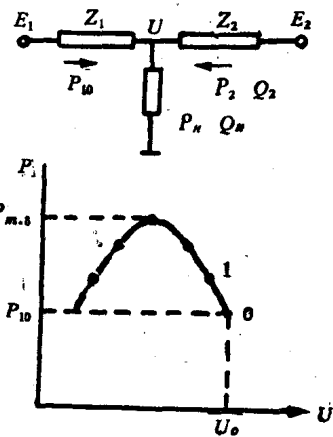


图 1-6. 实际功率极限的求得

功率曲线。其最大值 $P_{m,s}$ 我们称为实际功率极限，实际功率极限的数值很显然小于自然功率极限。

$$P_m \delta < P_{m,s}$$

要计算实际功率极限，在考虑负荷的静态特性以后，将是一件非常麻烦的工作。因为，当 U 变化以后，负荷 P_n 和 Q_n 要相应的变化，它们变化的规律可以由负荷的静态特性求得，负荷静态特性即是

$$P_n = \varphi(U),$$

$$Q_n = \psi(U).$$

知道这些关系，便可以找出实际功率曲线和实际功率极限。这种计算是由逐点计算法求得，在 P, U 图形上表示，其方法如下：

已知 $P_{10}, Q_{10}, P_{20}, Q_{20}, P_n, Q_n, U, E_1, E_2$ 均为正常运行情况的各参数，也即是要找出，在这种情况下运行时其实际功率极限数值。首先，根据已知的 P_{10}, U_0 ，可以得出 P, U 图形上的第“0”点。要找出其他各点，可按上述方法进行：

第一点：要找出 P, U 图形上的第 1 点，假设地方发电站输出的功率减少 ΔP_2 ，然后假定一系列的 Q_2 根据

$$\dot{U} = \dot{E} - \left(\frac{\dot{P}_2 - i\dot{Q}_2}{E_2} \right) \dot{Z}_2$$

可求出一系列的 \dot{U} 值。

有了一系列的 \dot{U} 值，由负荷静态特性，可以计算出相应一系列的 P_n 和 Q_n 之值。

$$\text{用 } P_1 = P_n - (P_{20} - \Delta P_2)$$

$$Q_1 = Q_n - Q_2$$

可以计算出一系列的 P_1, Q_1 ，最后

可以算出一系列的 E_1 。作 (E_1, P_1) (E_1, U) 的函数图形，从 (E_1, P_1)

图上已知 E_{10} ，可以查出 $P_{1(1)}$ 的数

值。又从 (E_1, U) 的图形上，可以找出对应的 U 数值。于是便求得 $P_{1(1)}, U_{(1)}$ 的第一点，列表如下。

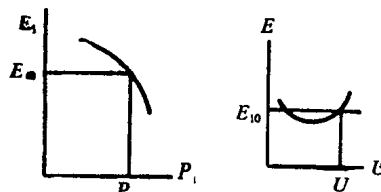


图 1-7. 实际功率极限的计算

設 $P_2 = P_{20} - \Delta P$

Q_2	假設一系列值
U		由 $\dot{U} = \dot{E} - i_2 Z$ 算出
P_H		{查靜態特性
Q_H		
P_1		$P_1 = P_H - P_2$
Q_1		$Q_1 = Q_H - Q_2$
E		$\dot{E} = \dot{U} + i_2 Z$ 算出

根据以上的步驟可以求出很多点,然后,画出如图 1.6 所示的曲綫,其最大值,即为实际功率极限 $P_{m.s.}$.

§ 1-3. 电力系統的內功率极限及外功率极限

现代电力系統中的发电机,都装有灵敏的电压調整器,这种电压調整器的作用,可以保証在运行情况緩慢变化时,增加或減少励磁电流,以尽量保証发电机端电压很少变化。在这种情况下的发电机的工作状态是这样的: 随着輸送功率的增加,电压調整器增大了励磁电流,因而增大了发电机的电势 E , 此时电力系統能达到的功率极限称为电力系統的外功率极限。如图 1-8 中的 $P_{m.u.}$ 。但在电力系統裝置普通的电压調整器,由于它有失灵区域和时滞,系统的功率特性就不能达到外功率特性 $P_{m.u.}$ 。系统的临界功角只能是 $\delta = 90^\circ$ 。因为在 $\delta < 90^\circ$ 的范围内,調整器的失灵和时滞并不会使电力系統不稳定,这是由于发电机电势虽然恆定,而功率特性曲綫仍然是上升的,即滿足 $\frac{dP}{d\delta} > 0$ 的条件,因此外功率极限的特性曲綫(以后簡称外特性曲綫)和 $\delta = 90^\circ$ 直線的交点称为內功率极限 $P_{m.b.}$ 。

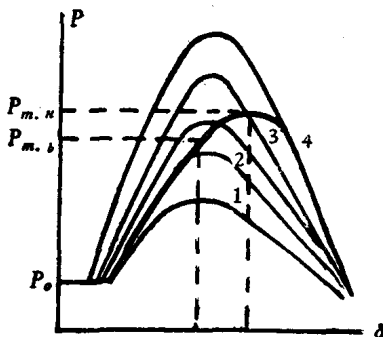


图 1-8. 电力系統的內功率极限